

# Expérience à Choix Retardé de Wheeler sur Ordinateur Quantique

Basé sur l'article de Chandarana et al. [1]

Théotim Barbier

7 mars 2025

## 1 Introduction

## 2 Description de l'Expérience de Wheeler

## 3 Théorie

- Expérience 1 : Dualité Onde-Corpuscule
- Expérience 2 : Non existence de variable caché locale

## 4 Implémentations

## 5 Expériences et Résultats

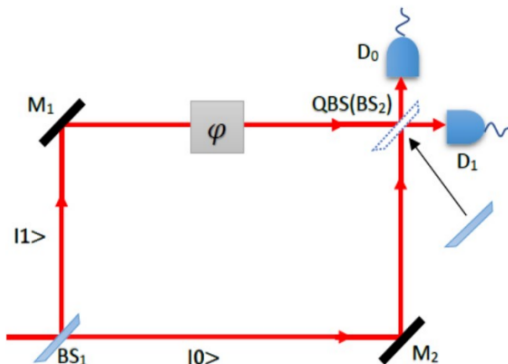
- 1 Introduction
- 2 Description de l'Expérience de Wheeler
- 3 Théorie
- 4 Implémentations
- 5 Expériences et Résultats

- Mécanique quantique connue pour ces propriétés non intuitives :
  - **Dualité onde-corpuscule**
  - **Intrication quantique**
  - **Mesures**
- Expériences à **choix retardé quantique**: un choix est effectué a posteriori d'un phénomène quantique.
- **Exemples** : Gomme Quantique, Expérience de Wheeler, ...

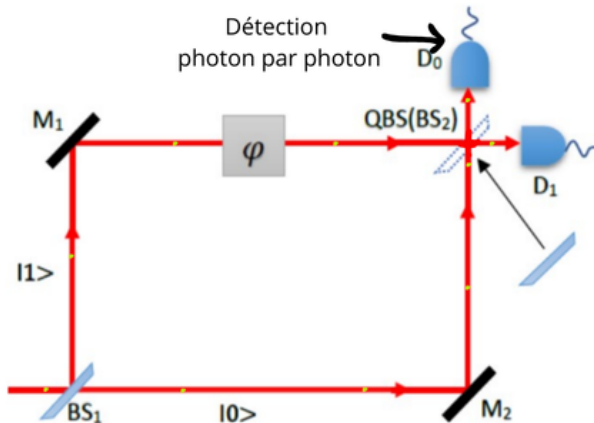
- 1 Introduction
- 2 Description de l'Expérience de Wheeler
- 3 Théorie
- 4 Implémentations
- 5 Expériences et Résultats

# Description de l'Expérience de Wheeler

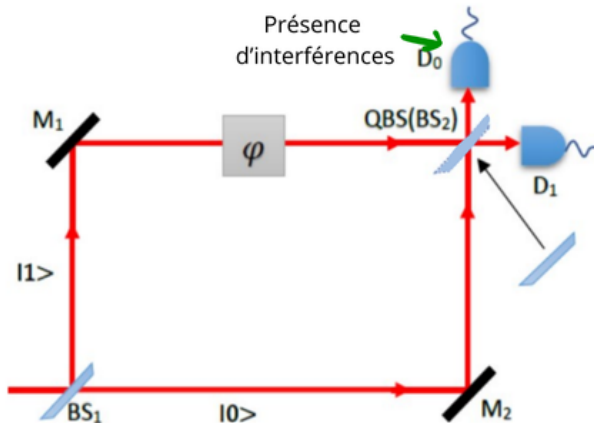
- Utilisation d'un interféromètre de Mach-Zehnder
- BS1 et BS2 : miroir semi-réfléchissant
- Contrôle de la présence de BS2



# Cas 1 : Sans BS2



## Cas 2 : Avec BS2





# Implications de l'expérience

- Démonstration de la **dualité onde corpuscule**.
- Expérience réalisé de manière cosmique. Le choix retardé est effectué par un élément lointain (particule cosmique)  $\implies$  pas de **variable caché locale**.

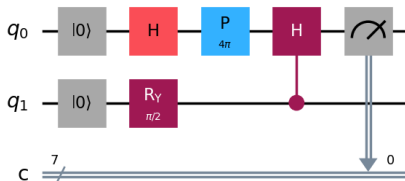
- 1 Introduction
- 2 Description de l'Expérience de Wheeler
- 3 Théorie**
  - Expérience 1 : Dualité Onde-Corpuscule
  - Expérience 2 : Non existence de variable caché locale
- 4 Implémentations
- 5 Expériences et Résultats

# Contribution de l'article

- L'article [1] propose une version de cette expérience sous ordinateur quantique.
- **photon** représenté par un **bit quantique**  $q_0$ .
- chemin du photon représenté par l'état du bit quantique. L'opérateur de Hadamard représente le **miroir semi-réfléchissant**.
- Un opérateur de déphasage est appliqué sur l'état  $|1\rangle$ .
- Une mesure est appliquée :
  - Un état  $|0\rangle$  mesuré correspond au détecteur  $D_0$ .
  - Un état  $|1\rangle$  mesuré correspond au détecteur  $D_1$ .
- Possibilité du contrôle de BS2 de manière **quantique**.

- Présence du deuxième miroir BS2 par un qubit ancillaire en état superposé.
- L'état du qubit ancillaire  $q_1$  va être régie par une variable  $\alpha$  qui va effectuer une rotation selon l'axe Y.

# Dualité Onde-Corpuscule



**Figure:** Circuit quantique représentant l'expérience 1 pour  $\phi = 4\pi$  et  $\alpha = \pi/2$ . L'opérateur  $P$  est l'opérateur de phase sur le qubit du système et l'opérateur  $R_Y$  est l'opérateur de rotation sur le qubit ancillaire. Image tiré de mon code qiskit.

- Si  $\alpha = 0$  alors, BS2 n'est pas présent et l'état final est :

$$|\psi_p\rangle = \frac{1}{2}(|0\rangle + e^{i\phi}|1\rangle).$$

- Si  $\alpha = \pi/2$  alors, BS2 est présent et l'état final est :

$$|\psi_w\rangle = \cos(\phi/2)|0\rangle + \sin(\phi/2)|1\rangle.$$

- Si  $\alpha \in ]0; \pi/2[$  alors la présence de BS2 est quantique.
- L'article montre que la valeur d'énergie aux détecteurs (proportion de photon) est donné par :

$$E_{D_0} = \frac{\cos^2 \alpha}{2} + \sin^2 \alpha \cos^2(\phi/2)$$

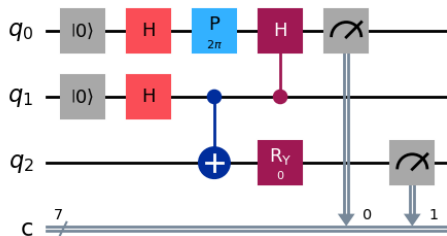
$$E_{D_1} = \frac{\cos^2 \alpha}{2} + \sin^2 \alpha \sin^2(\phi/2)$$

# Non existence de variable caché locale

- Ajout d'un deuxième qubit ancillaire  $q_2$  intriqué au premier  $q_1$ .
- On applique la rotation  $\alpha$  à  $q_2$  après avoir fait interagir  $q_0$  et  $q_1$ .



# Non existence de variable caché locale



**Figure:** Circuit quantique représentant l'expérience 2. L'opérateur  $P$  représente l'opérateur de phase sur le qubit du système et l'opérateur  $R_Y$  représente la rotation effectuée sur le deuxième qubit ancillaire. Image tirée de mon code qiskit.

# Non existence de variable caché locale

- L'article montre que dans les hypothèse d'une variable caché locale, l'état final de  $q_0$  serait indépendant de  $q_2$ . L'énergie aux 2 détecteurs serait donc égale et vaudrait :

$$E_{D_1} = E_{D_0} = \frac{1}{4} + \frac{\cos^2(\phi/2)}{2}$$

- Si l'on utilisait la théorie quantique, on trouverait :

$$E_{D_0} = \frac{\cos^2 \alpha}{4} + \frac{\sin^2 \alpha}{2} \cos^2(\phi/2)$$

$$E_{D_1} = \frac{\sin^2 \alpha}{4} + \frac{\cos^2 \alpha}{2} \cos^2(\phi/2)$$

- 1 Introduction
- 2 Description de l'Expérience de Wheeler
- 3 Théorie
- 4 Implémentations**
- 5 Expériences et Résultats

# Circuit Quantique 1

```
1  qreg_q = QuantumRegister(2, 'q')
2  creg_c = ClassicalRegister(7, 'c')
3  circuit = QuantumCircuit(qreg_q, creg_c)
4
5  circuit.reset(qreg_q[0])
6  circuit.reset(qreg_q[1])
7  circuit.h(qreg_q[0])
8  circuit.ry(alpha, qreg_q[1])
9  circuit.p(phi, qreg_q[0])
10 circuit.ch(qreg_q[1], qreg_q[0])
11 circuit.measure(qreg_q[0], creg_c[0])
```

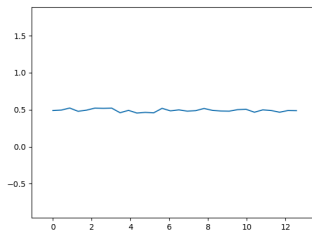
# Circuit Quantique 2

```
1  qreg_q = QuantumRegister(3, 'q')
2  creg_c = ClassicalRegister(7, 'c')
3  circuit = QuantumCircuit(qreg_q, creg_c)
4
5  circuit.reset(qreg_q[0])
6  circuit.reset(qreg_q[1])
7  circuit.h(qreg_q[0])
8  circuit.h(qreg_q[1])
9  circuit.cx(qreg_q[1], qreg_q[2])
10 circuit.p(phi, qreg_q[0])
11 circuit.ch(qreg_q[1], qreg_q[0])
12
13 circuit.ry(alpha, qreg_q[2])
14
15 circuit.measure(qreg_q[0], creg_c[0])
16 circuit.measure(qreg_q[2], creg_c[1])
```

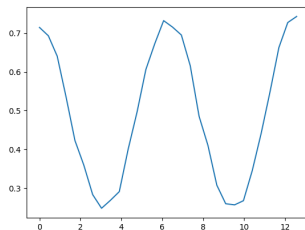
# Sommaire

- 1 Introduction
- 2 Description de l'Expérience de Wheeler
- 3 Théorie
- 4 Implémentations
- 5 Expériences et Résultats**

# Expérience 1



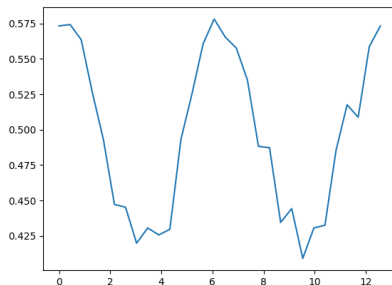
(a)  $\alpha = 0$



(b)  $\alpha = \pi/2$

**Figure:** Résultats de l'expérience 1 sur ordinateur quantique. On retrouve en abscisse les valeurs de  $\phi$  de 0 à  $4\pi$  et en ordonnée les valeurs de l'énergie (i.e la probabilité d'être observé sur le détecteur  $D_0$ ).

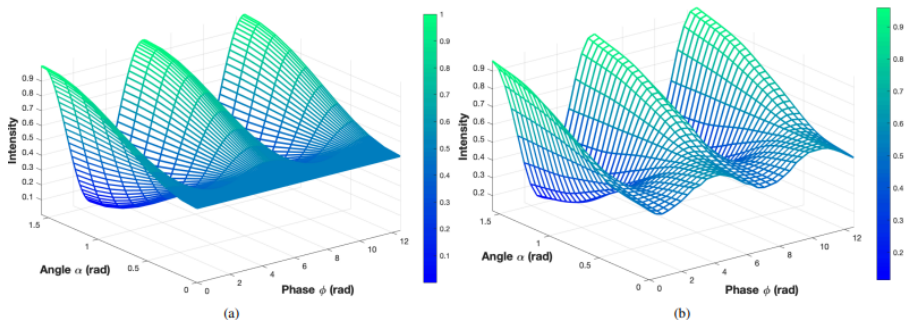
# Expérience 1



**Figure:** Résultats de l'expérience 1 sur ordinateur quantique. On retrouve en abscisse les valeurs de  $\phi$  de 0 à  $4\pi$  et en ordonnée les valeurs de l'énergie (i.e la probabilité d'être observé sur le détecteur  $D_0$ ).  $\alpha = \pi/4$ .

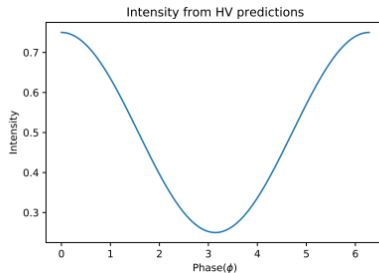


# Résultats de l'article



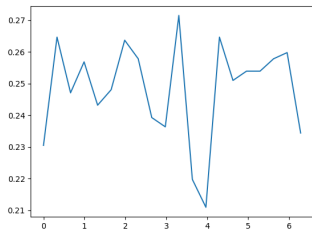
**Figure:** Comparaisons des résultats théoriques et expérimentaux pour l'expérience 1. (a) présente les résultats théorique selon l'équation (1). (b) présente les résultats expérimentaux de l'article pour différentes valeurs de  $\alpha$  et  $\phi$ .

# Expérience 2

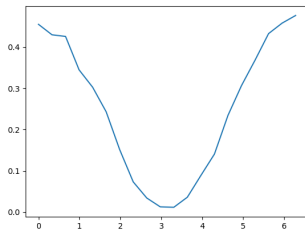


**Figure:** Valeur de l'intensité pour la deuxième expérience dans le contexte d'une variable caché locale.

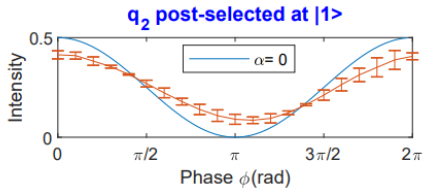
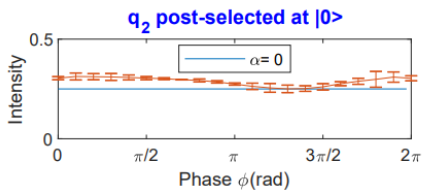
# Expérience 2



(a) Mes résultats pour  $q_2 = |0\rangle$



(b) Mes résultats pour  $q_2 = |1\rangle$



(c) Résultats de l'articles

# Conclusion

- Confirmation expérimentale de la dualité onde-corpuscule
- Absence de variable cachée locale démontrée
- Intérêt des ordinateurs quantiques pour la vérification de principes fondamentaux



Pranav D Chandarana, Angela Anna Baiju, Sumit Mukherjee,  
Antariksha Das, Narendra N Hegade, and Prasanta K Panigrahi.

Demonstration of quantum delayed-choice experiment on a quantum  
computer.

*arXiv preprint arXiv:2004.04625, 2020.*